

天草第一号橋振動試験について

熊大 正員 吉村虎藏 熊大 正員 平井一男
・ 正員 田久英明 ・ 正員 増見豊考

天草連絡道路第一号橋の動的実験資料を得るために行なつた起振機による振動試験の結果、および理論値との比較など次の項目にわたって報告する。

- (1). 固有周期の理論的研究と実験値との比較研究。
- (2). 固有振動モードに関する理論的研究と実験値との比較研究。
- (3). 減衰係数に関する研究。

I. 振動試験

① 実験計画。

実験の種類は下記の通り。

- (1). 鉛直加振時の固有振動数・鉛直振動モード減衰係数の測定。
- (2). 鉛直加振時のトラス水平振動および橋脚の鉛直振動と水平振動の測定。
- (3). 橋軸と直角方向の水平加振による本橋の横方向の固有振動数・振動モード・減衰係数の測定。

本橋の振動試験に使用した機器は、起振機(10%で5ton)・動歪測定器(DM-6E)・ペン書きオッショログラフ(WA-3E)・加速度計(120A-2D)である。また加速度計の配置は図-1のようになる。画面にはコンクリートステー上にO(三角側支点上)・4(サイドスパン 1/2点)・8(三角側橋脚上)・14(セニタースパン 1/4点)・20(セニタースパン 1/2点)・14'(セニタースパン 3/4点)の6個を、他に8L(橋脚上鉛直柱下端)・8T(橋脚天端)の合計8台を設置した。起振機は20, 14, 4点の3点に移設して加振した。

② 鉛直加振時の振動について。

この振動試験ではまず点20において上下加振した。この加振によつて鉛直対称振動が把握され、他の点14, 4における加振によつて逆対称振動と対称振動のいくつがを掴むことができる。鉛直振動の共振点は表-1の通り。

これらの中振時ににおける固有振動数・振動モードを加速度計によつて測定し、また対数減衰率を求めた。これらを表-1, 図-3, 表-6に示す。

振動変位は鉛直変位と橋軸方向の水平変位とを測定し、とくに橋脚天端の鉛直・水平変位をも測定した。また共振時ににおける点O, 20, 14, 8T(橋脚天端), 8L(橋脚上鉛直柱下端)の水平変位と

図-1 加速度計および起振機設置点

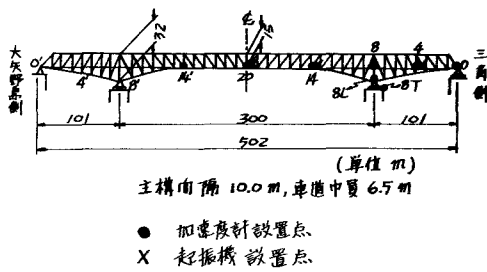


表-1 鉛直振動共振点

加振点 固有振動数 Y.P.M.	20(V-20)	14(V-14)	4(V-4)
200			
400	• 310 S (n=1)	• 310 S (n=1)	
600		• 510 AS (n=2)	
800	• 730 S 740 S (n=3)	• 740 S (n=3)	• 740 S (n=3)
1000	• 930 S (n=5)		• 860 AS 870 AS (n=6)
1200			• 970 S 920 S (n=5)
1400	• 1360 S 1360 S (n=7)		

S: 対称振動

AS: 逆対称振動

点14の鉛直変位を同時に測定した。点14の鉛直変位と他の点の水平変位を比べると表-2の通り。

鉛直振動の共振時ににおける

橋脚先端 8T の水平振動は表-2のように点14の鉛直変位の15%以下であり、変位の最大値は全振巾で 0.13 mm で極めて微小である。

また 8T の鉛直変位をも測定しえが、使用レバゲージでは測定ができないほど微小であった。

③ 橋軸と直角方向の水平振動について。

この振動試験では点20にお

ける加振と点14における加振によつて、橋軸と直角方向の水平固有振動数と振動モードおよび対称減衰率を測定した。この振動については現在振動解析を行はつてゐるが、測定レバ振動モードに振動次数を併記に与えた。これらを表-7、図-4、表-8に示す。補足た共振点を表-3の通り。

橋点8における鉛直弦の水平変位があるので点8の変位が零ではないのが目につく。この変位があつたために S1 の振動より低い対称振動があるかも知れないが、測定出来なかつた。

またこの振動でのトラスの挙れを測定するため点14の左右の主構に鉛直加速度計を設けた。しかしこの実験における振動の S1, S2 に可接れがなく、S4 では微小な挙れがみらか。

II 振動解析。

鉛直振動に関する解析。

本橋の振動解析を行はうため、トラスを多質点系に置換して解いた。こゝでは次の仮定のもとに鉛直振動を解いた。

- (1). 本橋を図-2の13質点系に置換する。
- (2). 集中質量は取扱いの便宜上、下弦接点に集中させる。
- (3). 鉛直慣性力のみを考慮し水平慣性力は無視する。
- (4). 集中質量は表-4の通り。(表の重量は完成時の重量である。実験時には未舗装であり吊足場のある状態であつた。一主構あたり未舗装重量 215/2 ton, 吊足場重量 48/2 ton。この重量の相違による固有周期への影響は2%程度である。)

最大 FACOM 231による解析結果が表-9、図-3が得られた。

表-2 鉛直振動時の水平変位(全振巾 mm)

n 測定点	水 平 变 位						鉛直变位 14 (V)
	0 (ha)	8T (ha)	8L (ha)	8 (ha)	14' (ha)	20 (ha)	
3	0	0.13	0.95	—	0.04	0.09	0.84
	(0)	(15)	(112)	—	(43)	(10)	(100)
4	0.38	0.12	0.40	—	0.18	0.17	0.76
	(50)	(16)	(53)	—	(24)	(22)	(100)
5	0.06	0.04	0.35	—	0.04	0.09	0.86
	(7)	(5)	(40)	—	(5)	(10)	(100)
7	0.24	0.11	0.18	0.41	—	0.09	0.74
	(32)	(15)	(24)	(55)	—	(8)	(100)

(注) 上欄は変位(mm), 下欄は鉛直変位に対する比(%)
カッコ

表-3 橋軸と直角方向の水平振動の共振点

測定点 面積	20		14
	R.P.M.		
400	480 S (51)		380 AS (AS1)
600	660 S (92)		680 S (52)
800			880 AS (AS2)
1000	1060 S (93)		1060 S (93)
1200	1128 S (93)		1120 S (93)

図-2 解析のモデル

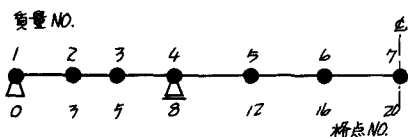


表-4 集中質量

質量 NO.	1	2	3	4	5	6	7	8	9	10	11	12	13	14	15	16	17	18	19	20
総質量	0	1	2	3	4	5	6	7	8	9	10	11	12	13	14	15	16	17	18	19
個別質量	25.63	50.18	72.36	56.81	59.10	64.61	68.47	98.17	66.21	53.89	57.22	53.07	52.66	49.96	50.58	47.57	47.34	46.79	49.61	
集中質量																				
	131.69																			
		154.12																		
			242.77																	
				227.79																
					198.71															
						191.73														

(単位 ton)

III. 結論。

(1). 鉛直振動固有周期の実験値と理論値との比較。

測定した鉛直振動固有周期と、鉛直振動解析による理論値とを比較すると表-1となる。高次振動 $M=7$ を除けば周期比の平均は 88 % となる。

(2). 鉛直振動モードの実験値と理論値との比較。

鉛直加振時の振動モードの比較を図-3 に示す。モード図を比較すると大体一致しているが、点 8 の上下変位の向きことが知られる。これは振動解析の仮定(2)が實際と相違するからである。

(3) 鉛直振動における対数減衰率について。

各次の振動に対する測定した対数減衰率は表-6 の通り。

(4) 鉛直振動時の他の振動性状について。

鉛直加振の共振点においてトラスの水平変位の大きさ、および三角側橋脚先端の上下動・水平動をも測定した。前者のデータでは水平変位がかなり大きい場合もあるのでこのようないくつかの橋の振動解析には厳密には水平慣性力を考慮すべきことがあがる。また後者の水平変位は極めて微小、上下動は測定出来ない程微小であつた。

図-3 鉛直加振時の振動モードの比較

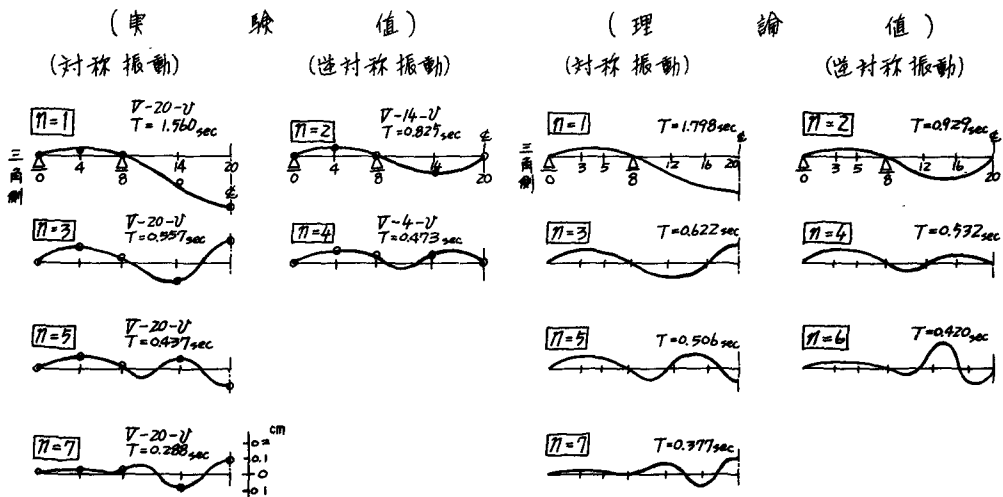


表-5 鉛直振動固有周期の実験値と理論値との比較

次数 n	対称振動周期(sec)		逆対称振動周期(sec)		比 率
	測定値	理論値	測定値	理論値	
1	1.56	1.80	87		
2			0.825	0.929	89
3	0.557	0.622	90		
4			0.473	0.532	89
5	0.437	0.506	86		
6			—	0.420	—
7	0.288	0.377	77		

表-6 鉛直加振時の対数減衰率

次数 n	対称振動	逆対称振動
1	0.028 ~ 0.031	
2		0.035
3	0.023 ~ 0.041	
4		0.092 ~ 0.099
5	0.027 ~ 0.031	
6		—
7	0.037 ~ 0.051	

② 橋軸と直角方向の水平振動について。

(1) 橋軸と直角方向水平振動の固有周期。

この場合の理論的解析は現在行なつてゐるが、補充たる振周期を便宜上対称振動で S1, S2, S3, S4, 逆対称振動では AS1, AS2 として表-4 に示す。表-7 から推察されるところは、S1 よりも低次の対称振動が存在するのではないかといふこと、および S1 と S2 との間に一つ逆対称振動の共振点があるのではないかといふことである。前者は起振力不足のため、後者は振動モードの節の近くで加振した、めと思われる。

(2) 橋軸と直角方向水平振動モード。

この加振時の振動モードを図-4 に示す。点 8 の橋軸直角方向の水平変位(橋面の変位)が大きくなるゆえにこれが知られるが、点 8 の鉛直方向の水平変位が生じるから当然のことである。

(3) 橋軸と直角方向水平加振時の対数減衰率。

測定した対数減衰率を表-8 に示す。

(4) 橋軸と直角方向水平振動の他の振動性状。

この振動によろトラスの振れをみるために点 14 の左右の主構の上下変位を測定したが、S1, S2 ではなく S4 で微小な振れがみられた。

図-4 水平加振時の振動モード
(対称振動) (逆対称振動)

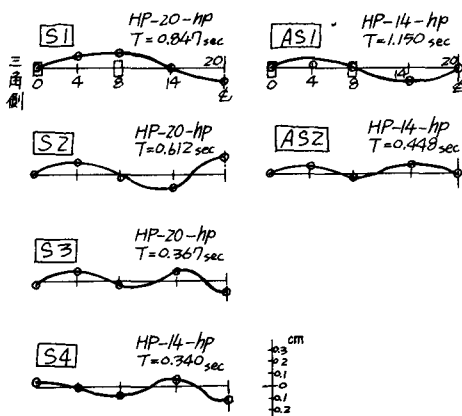


表-7 橋軸と直角方向の水平振動の固有周期(sec)

次数	対称振動	次数	逆対称振動
S1	0.847		
		AS1	1.15
S2	0.612		
		AS2	0.448
S3	0.367		
		AS3	
S4	0.340		

表-8 水平加振時の対数減衰率

次数	対称振動	次数	逆対称振動
S1	0.045 ~ 0.05		
		AS1	0.070
S2	0.056 ~ 0.074		
		AS2	0.034 ~ 0.039
S3	0.066 ~ 0.071		
		AS3	
S4	0.068 ~ 0.072		